

УДК 539.374

**КУСОЧНО-ЛИНЕЙНЫЕ ПЛАСТИЧЕСКИЕ ПОТЕНЦИАЛЫ  
КАК СРЕДСТВО РАСЧЕТОВ ПЛОСКИХ НЕУСТАНОВИВШИХСЯ  
ТЕМПЕРАТУРНЫХ НАПРЯЖЕНИЙ**

© 2020 г. А. А. Буренин<sup>а</sup>, А. В. Ткачева<sup>а,\*</sup>

<sup>а</sup> *Институт машиноведения и металлургии ДВО РАН, Комсомольск-на-Амуре, Россия*

*\*e-mail: 4nansi4@mail.ru*

Поступила в редакцию 18.07.2020 г.

После доработки 23.07.2020 г.

Принята к публикации 01.08.2020 г.

Строится численно-аналитическое решение одномерной задачи теории температурных напряжений об эволюции плоских напряженных состояний в условиях нагрева и последующего остывания круглой пластины, изготовленной из упругопластического материала. Пластина подвергается нагреву так, что растет пропорционально времени уровень колоколообразного распределения температуры до задаваемого максимального значения. После этого источник нагрева отводится и далее остывание происходит в естественных условиях. Показано, что при следовании условиям кусочно-линейных пластических потенциалов в любой рассматриваемый момент времени процесса деформирования интегрированием уравнения равновесия устанавливаются зависимости, связывающие обратимые и необратимые деформации и напряжения с распределением температуры. Предел текучести полагается квадратично зависимым от температуры; упругие модули, удельная теплоемкость и коэффициент теплового расширения считаются постоянными. Установлено, что рассматриваемая задача в рамках пластического потенциала Треска–Сен-Венана решения не имеет, но разрешается в рамках пластического потенциала Ишлинского–Ивлева.

*Ключевые слова:* упругость, пластичность, температурные напряжения, пластическое течение, разгрузка, обратное пластическое течение

**DOI:** 10.31857/S0572329920060057

**Введение.** Заметный прогресс в развитии теории пластического течения в прошлом веке во многом определялся использованием кусочно-линейных пластических потенциалов [1–4]. Именно с помощью кусочно-линейных классических условий пластического течения максимальных касательных напряжений (условия Треска–Сен-Венана) и максимальных приведенных напряжений (условие Ишлинского–Ивлева) удалось получить решения задач теории [5–9], важных как для развития фундаментальной теории, так и для ее многочисленных приложений.

При решении конкретных и проблемных задач теории пластического течения используется, главным образом, условие пластичности Треска–Сен-Венана. Также кусочно-линейное условие пластического течения Ишлинского–Ивлева в подобном использовании наблюдается значительно реже. Возможно потому, что в сравнении с условием Треска–Сен-Венана (максимальных касательных напряжений) и Мизеса (максимальной интенсивности или максимальных октаэдрических напряжений) оно не обладает столь прозрачным механическим смыслом. Записано оно было значитель-

но позже [10] первых двух, ставших уже к тому времени общепризнанными. В широкую исследовательскую и расчетную практику условие максимальных приведенных напряжений было введено А.Ю. Ишлинским [11] и Д.Д. Ивливым [1, 12]. После этого оно заслуженно становится [1, 4] третьим после условий Треска–Сен-Венана и Мизеса классическим условием пластического течения, составившим вместе с ними основание теории идеальной пластичности [3, 4, 6, 13].

Условие пластичности максимальных приведенных напряжений успешно использовалось при разрешении разных задач необратимого деформирования [6, 14–16], включая и задачи теории неустановившихся температурных напряжений [17–19]. При этом установлено [18], что имеются задачи, которые при зависимости предела текучести от температуры не имеют решения в условиях пластичности Треска–Сен-Венана, но в то же время благополучно разрешаются в условиях Ишлинского–Ивлева. Здесь рассмотрим отмечающуюся этим же свойством задачу неустановившихся температурных напряжений о численно-аналитическом расчете эволюции плоских напряженных состояний при нагреве и последующем остывании круглой пластины.

Необходимо отметить, что благодаря постоянному и требовательному вниманию со стороны технологической практики, теория термопластичности [20–22] и, в частности, теория температурных напряжений [23–28] остаются уверенно развиваемыми направлениями исследований.

**1. Основные соотношения теории неустановившихся температурных напряжений** запишем в виде:

$$\begin{aligned} \mathbf{e} &= \mathbf{e}^e + \mathbf{e}^p = \frac{1}{2}(\nabla \mathbf{u} + \nabla^T \mathbf{u}) \\ \boldsymbol{\sigma} &= (\lambda \operatorname{tr} \mathbf{e}^e - 3\alpha T_0 K \theta) \mathbf{I} + 2\mu \mathbf{e}^e \\ d\mathbf{e}^p &= d\varphi \frac{\partial f(\boldsymbol{\sigma}, k)}{\partial \boldsymbol{\sigma}}; \quad f(\boldsymbol{\sigma}, k) = 0; \quad d\varphi > 0 \\ \frac{\partial \theta}{\partial t} &= a\Delta \theta - w(t, \mathbf{z}); \quad \theta = \frac{T - T_0}{T_0} \end{aligned} \quad (1.1)$$

В (1.1)  $t$  – время,  $\mathbf{z}$  – радиус вектор места, занимаемого рассматриваемой точкой деформируемого тела;  $\mathbf{u}$  – вектор перемещения;  $\mathbf{e}^e$ ,  $\mathbf{e}^p$  – обратимая и необратимая составляющие тензора полных деформаций  $\mathbf{e}$ ;  $\boldsymbol{\sigma}$  – тензор напряжений;  $\mathbf{I}$  – единичный тензор второго ранга;  $f(\boldsymbol{\sigma}, k) = 0$  – уравнение поверхности нагружения (текучести);  $T$ ,  $T_0$  – текущая температура и температура свободного состояния тела;  $w(t, \mathbf{z})$  – скалярная функция, задающая интенсивность источников тепла в теле. Упругие модули Ламе  $\lambda$  и  $\mu$ , модуль всестороннего сжатия  $K = \lambda + \frac{2}{3}\mu$ , коэффициент линейного расширения  $\alpha$  далее будем считать постоянными, от температуры независимыми. Только предел текучести  $k$  полагаем изменяющимся с изменением температуры и такую зависимость принимаем в форме

$$k = k_0 \tau^2; \quad \tau = T_0 (T_p - T_0)^{-1} \theta \quad (1.2)$$

$T_p$  – температура плавления материала неизотермически деформируемого тела,  $k_0$  – предел текучести материала при комнатной температуре  $T_0$ .

Далее массовыми силами и силами инерции пренебрегаем, поэтому уравнение равновесия запишется в форме

$$\nabla \boldsymbol{\sigma} = 0 \quad (1.3)$$

Записанные соотношения для своей замкнутости требуют указания условия пластического течения. Здесь будем использовать классические кусочно-линейные условия

$$\max |\sigma_i - \sigma_j| = 2k \quad (1.4)$$

$$\max |\sigma_i - \sigma| = \frac{4}{3}k; \quad \sigma = \frac{1}{3}(\sigma_1 + \sigma_2 + \sigma_3) \quad (1.5)$$

Первое из соотношений называется условием максимальных касательных напряжений Треска–Сен-Венана, второе – условием максимальных приведенных Ишлинского–Ивлева.

**2. Температурная задача.** Рассмотрим круглую пластинку радиуса  $R$ , край которой закреплен. В цилиндрической системе координат  $r, \varphi, z$  последнее означает, что

$$u_r(0, t) = 0; \quad u_r(R, t) = 0 \quad (2.1)$$

где  $u_r$  – компонента вектора перемещений.

Нагрев пластины осуществляется источником, сообщаящим пластине колоколообразное распределение температуры с растущим ее максимумом в центре пластины. Это позволяет задать источник в виде

$$\omega(t, r) = \beta t e^{-\gamma r^{2n}} \quad (2.2)$$

Уравнение теплопроводности (последнее равенство в (1.1)) теперь в цилиндрической системе координат перепишем в форме

$$\frac{\partial \theta}{\partial t} = a(r\theta_{,r})_{,r} + \beta t e^{-\gamma r^{2n}} - \chi \theta \quad (2.3)$$

Коэффициент теплоотдачи  $\chi$  от пластины в окружающую среду будем считать постоянным. Если пренебречь теплоотводом от кромки  $r = R$  пластины, то начальными и граничными условиями для (2.3) будут

$$\theta(r, 0) = 0; \quad \theta_{,r}(R, t) = 0 \quad (2.4)$$

Температурная задача (2.3) и (2.4) разрешается до той поры, пока температура в центре пластины не достигнет своего задаваемого максимального значения  $T = T_*$ .

Следовательно, после того как  $\theta = T^{-1}T_* - 1$  предпоследнее слагаемое правой части из уравнения теплопроводности (2.3) исключается. Рис. 1 иллюстрирует решение температурной задачи до момента отвода источника тепла. Графически указано распределение температуры в ее росте со временем до максимальной (верхний график) при следующих значениях постоянной задачи:  $a = 77.1 \times 10^{-6}$  м<sup>2</sup>/с;  $\chi = 7.6$  Вт/(м<sup>2</sup> · °С);  $\beta = 20$  с<sup>-2</sup>;  $\gamma = 880$  см<sup>-2</sup> (рис. 1, а);  $\gamma = 220$  см<sup>-2</sup> (рис. 1, б);  $T_p = 660$ °С,  $T_0 = 20$ °С.

**3. Начальное термоупругое деформирование** происходит в согласии с уравнением равновесия (1.3), которое в рассмотренном случае запишется в виде

$$\sigma_{r,r} + r^{-1}(\sigma_r - \sigma_\varphi) = 0 \quad (3.1)$$

Напряжения  $\sigma_{rr} = \sigma_r$ ,  $\sigma_{\varphi\varphi} = \sigma_\varphi$ ,  $\sigma_{zz} = \sigma_z = 0$  в рассматриваемом случае являются главными напряжениями. Исходя из соотношений Дюамеля–Неймана (1.1) и исключая с их помощью  $u_z, z$ , найдем

$$\begin{aligned} \sigma_r &= (4\mu(\lambda + \mu)u_{r,r} + 2\lambda\mu r^{-1}u_r - 6K\mu\alpha T_0\theta)(\lambda + 2\mu)^{-1} \\ \sigma_\varphi &= (4\mu(\lambda + \mu)r^{-1}u_r + 2\lambda\mu u_{r,r} - 6K\mu\alpha T_0\theta)(\lambda + 2\mu)^{-1} \end{aligned} \quad (3.2)$$

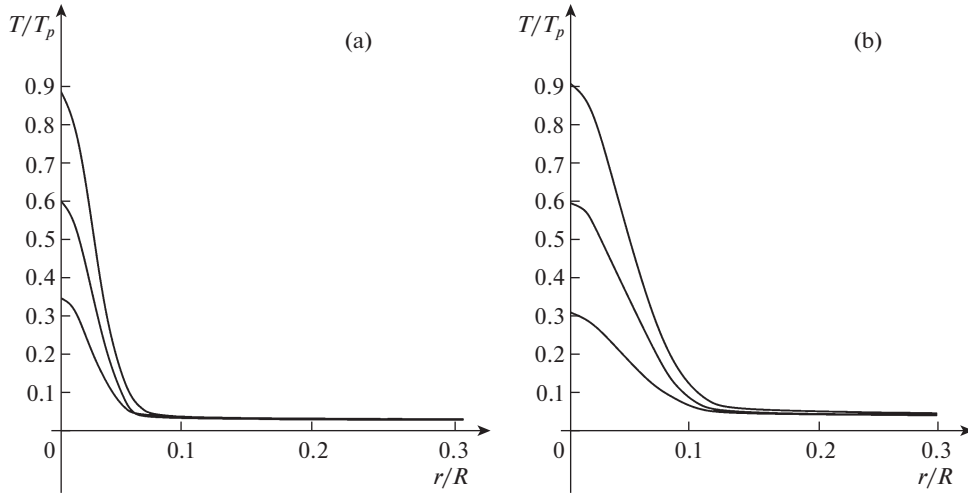


Рис. 1

Подстановка (3.2) в (3.1) и интегрирование результата приводит к зависимостям

$$u_r = 1.5Kr^{-1}(\lambda + \mu)^{-1} \alpha T_0 \int_0^r \rho \theta(\rho) d\rho + 0.5rC_1(t) + r^{-1}C_2(t) \quad (3.3)$$

$$\sigma_r = -3K\mu r^{-2}(\lambda + \mu)^{-1} \alpha T_0 \int_0^r \rho \theta(\rho) d\rho + 3K\mu(\lambda + 2\mu)^{-1} C_1(t) - 2\mu r^{-2} C_2(t)$$

$$\begin{aligned} \sigma_\varphi = 3K\mu r^{-2}(\lambda + \mu)^{-1} \alpha T_0 \int_0^r \rho \theta(\rho) d\rho - 3K\mu(\lambda + \mu)^{-1} \alpha T_0 \theta + \\ + 3K\mu(\lambda + 2\mu)^{-1} C_1(t) + 2\mu r^{-2} C_2(t) \end{aligned} \quad (3.4)$$

Выполняя граничные условия (2.1), найдем

$$C_1 = -3KR^{-2}(\lambda + \mu)^{-1} \alpha T_0 \int_0^R \rho \theta(\rho) d\rho; \quad C_2 = 0$$

**4. Пластическое течение.** С ростом температуры растут и напряжения. Наступает момент времени  $t = t_1 > 0$  когда напряжения, рассчитываемые согласно (3.4), удовлетворяют условиям пластического течения (1.4) или (1.5). Расчеты показывают, что в момент времени  $t = t_1$  напряжения  $\sigma_r$  и  $\sigma_\varphi$  одинаковы и равны  $\sigma_r = \sigma_\varphi = -2k$ . Одновременно выполняются условие Треска–Сен-Венана и условие Ишлинского–Ивлева (см. рис. 2). Только условие максимальных касательных напряжений выполняется в соответствии ребру призмы Треска (условие полной пластичности), а условие максимальных приведенных напряжений в соответствии грани призмы Ивлева. На рис. 2 указано пересечение призмы Треска (внутренний шестиугольник) и призмы Ивлева (внешний шестиугольник) с координатной плоскостью  $\sigma_z = 0$ .

Если принять, что осуществляется состояние полной пластичности [1, 4, 5] в соответствии напряжений ребру призмы Треска, то согласно уравнению равновесия (3.1) имеем  $\sigma_{r,r} = 0$ . Выполнить условие  $\sigma_r = \text{const}$  невозможно, поскольку  $k$  и  $\sigma_r$  уже задаются распределением по  $r$  температуры. Следовательно, невозможно в таком случае

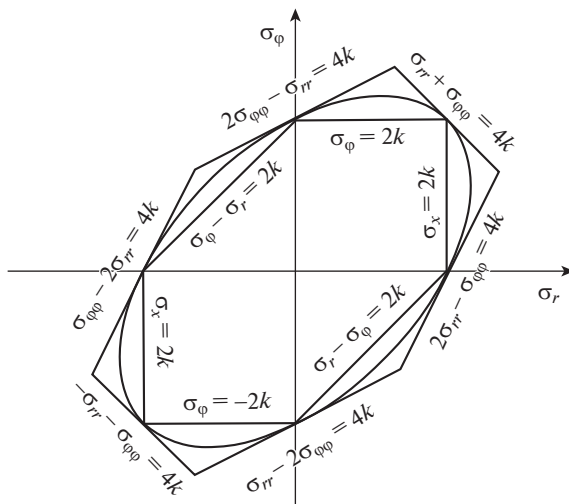


Рис.2

получить решение задачи теории из-за того, что она оказывается переопределенной вследствие зависимости предела текучести от температуры.

Остается считать, что начавшееся пластическое течение соответствует грани  $\sigma_r + \sigma_\varphi = -4k$  призмы Ивлева (рис. 2). Следовательно, в момент времени  $t = t_1$  в центре пластины зарождается и продвигается далее по пластине упругопластическая граница  $r = n_1(t)$ , оставляя за собой область пластического течения (рис. 3)  $0 \leq r \leq n_1(t)$ . В этой области

$$\begin{aligned} \sigma_r &= (4\mu(\lambda + \mu)(u_{r,r} - e_r^p) + 2\lambda\mu(r^{-1}u_r - e_\varphi^p) - 6K\mu\alpha T_0\theta)(\lambda + 2\mu)^{-1} \\ \sigma_\varphi &= (4\mu(\lambda + \mu)(r^{-1}u_r - e_\varphi^p) + 2\lambda\mu(u_{r,r} - e_r^p) - 6K\mu\alpha T_0\theta)(\lambda + 2\mu)^{-1} \\ e_r^p &= e_\varphi^p \end{aligned} \quad (4.1)$$

Подстановка (4.1) в уравнение равновесия (3.1) и последующее интегрирование результата приводит к зависимостям

$$\begin{aligned} u_r &= 2(\mu r)^{-1} \int_0^r \rho k(\rho) d\rho + 0.5rC_3(t) + r^{-1}C_4(t) \\ \sigma_r &= -4r^{-2} \int_0^r \rho k(\rho) d\rho - 2r^{-2}\mu C_4(t) \\ e_r^p &= 4((3\mu)^{-1} + (6K)^{-1})k - \alpha T_0\theta + 0.5C_3(t) \end{aligned} \quad (4.2)$$

В рассматриваемый момент времени постоянные  $C_3(t)$  и  $C_4(t)$  вместе с новыми значениями  $C_1(t)$  и  $C_2(t)$  и положением упругопластической границы  $r = n_1(t)$  определяются при выполнении граничных условий (2.1), условия пластичности и условий на граничной линии  $r = n_1(t)$

$$[u_r]_{n_1(t)} = 0; \quad [\sigma_r]_{n_1(t)} = 0 \quad (4.3)$$

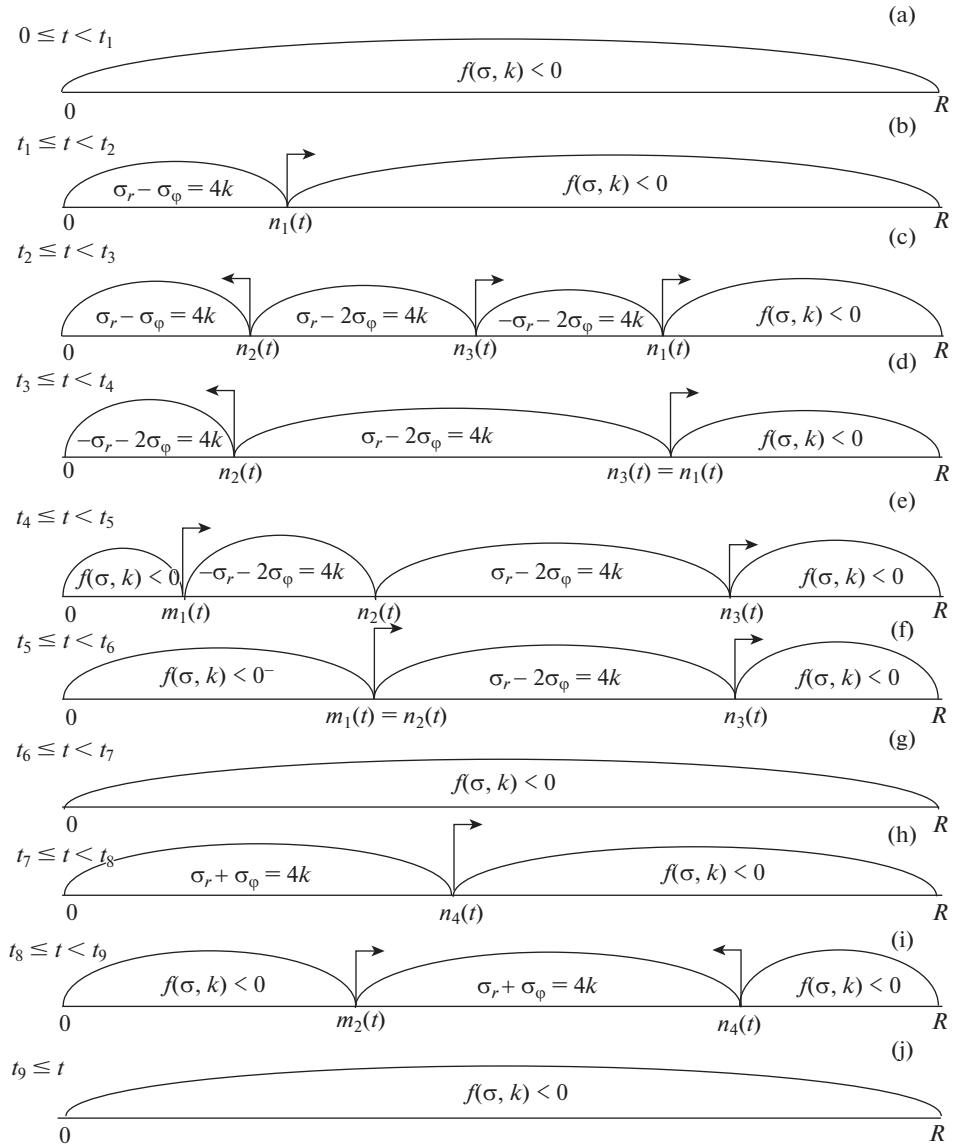


Рис. 3

Квадратными скобками в (4.3) обозначен разрыв переменной на продвигающейся линии  $r = n_1(t)$ . На рис. 3 представлена последовательная схема возникновения и исчезновения разных областей пластического течения. При продолжающемся нагреве находится момент времени  $t = t_2 > t_1$ , когда на некоторой внутренней линии пластической области наряду с условием  $\sigma_r + \sigma_\varphi = -4k$ , выполняется еще условие  $\sigma_r - 2\sigma_\varphi = 4k$ , то есть условия ребра призмы Ивлева. Однако в отличие от [19], пластическое течение в этих условиях оказывается неосуществимым. Действительно, на данном ребре  $\sigma_r = -4k/3$ ,  $\sigma_\varphi = -8k/3$  и согласно (3.1)  $\partial k(r)/\partial r - k = 0$ . Разрешая это дифференци-

альное уравнение получим распределение  $k(r)$ , которое уже задано распределением по пластине температуры  $k = k(T(r))$ . Это противоречие приводит к переопределенности задачи. Выход из такой ситуации состоит в том, что в момент времени  $t = t_2$  в рассматриваемой линии области пластического течения возникают две линии  $r = n_2(t)$  и  $r = n_3(t)$ , делящие область течения на три части (рис. 3) и продвигающиеся в разные стороны (направление движения указано стрелками). В двух таких частях  $0 \leq r \leq n_2(t)$  и  $n_3(t) \leq r \leq n_1(t)$  пластическое течение продолжается в соответствии грани  $\sigma_r + \sigma_\varphi = -4k$ , а в области  $n_2(t) \leq r \leq n_3(t)$  оно соответствует соседней грани призмы Ивлева. При записи аналога (4.1) для последней области следует учитывать, что наряду с формирующимися деформациями  $e_r^p(r, t)$  и  $e_\varphi^p(r, t)$  в ней присутствуют необратимые деформации  $p_r(t)$  и  $p_\varphi(r)$ , накопленные при пластическом течении в условиях прежней грани поверхности нагружения. Они вычисляются из (4.2) моментом прихода на линию с координатой  $r$  разделяющей линии  $r = n_2(t)$  или  $r = n_3(t)$ .

$$\begin{aligned} \frac{\partial^2 u_r}{\partial r^2} + \frac{1}{r} \frac{\partial u_r}{\partial r} - \frac{1}{4r^2} u_r = \frac{3\alpha T_0 K}{2(\lambda + \mu)} \theta_{,r} + \frac{3\alpha T_0 K}{4(\lambda + \mu)r} \theta + \frac{1}{3K} k_{,r} + \\ + \frac{\lambda + \mu}{2\mu K r} k + \left( p_{r,r} + \frac{1}{2r} p_r \right) + \frac{1}{2} \left( p_{\varphi,r} + \frac{1}{2r} p_\varphi \right) \end{aligned} \quad (4.4)$$

После интегрирования (4.4) получим

$$\begin{aligned} u_r = \frac{1}{\sqrt{r}} \int_{n_2(t)}^r (p_r(\rho) + 0.5p_\varphi(\rho)) \sqrt{\rho} d\rho + \frac{\sqrt{r}(3\lambda + 5\mu)}{3\mu K} \int_{n_2(t)}^r \frac{k(\rho)}{\sqrt{\rho}} d\rho - \\ - \frac{(3\lambda + 5\mu)}{3\mu K \sqrt{r}} \int_{n_2(t)}^r k(\rho) \sqrt{\rho} d\rho + \frac{3}{2\sqrt{r}} \alpha T_0 \int_{n_2(t)}^r \sqrt{\rho} \theta(\rho) d\rho + \frac{\sqrt{r}(3\lambda + 5\mu)}{12\mu K} C_5(t) - \frac{C_6(t)}{\sqrt{r}} \\ e_r^p = -\frac{1}{2} e_\varphi^p = \frac{1}{2} p_\varphi - \frac{1}{2\sqrt{r^3}} \int_{n_2(t)}^r (p_r(\rho) + 0.5p_\varphi(\rho)) \sqrt{\rho} d\rho + \frac{3(\lambda + \mu)}{\mu K} k + \frac{\alpha T_0}{2} \theta + \\ - \frac{\lambda + \mu}{2\mu K \sqrt{r}} \int_{n_2(t)}^r \frac{k(\rho)}{\sqrt{\rho}} d\rho + \frac{(3\lambda + 5\mu)}{6\mu K \sqrt{r^3}} \int_{n_2(t)}^r k(\rho) \sqrt{\rho} d\rho + \frac{(\lambda + \mu)}{8\mu K \sqrt{r}} C_5(t) + \frac{C_6(t)}{2\sqrt{r^3}} \\ \sigma_r = -\frac{2}{\sqrt{r}} \int_{n_2(t)}^r k(\rho) \sqrt{\rho} d\rho + \frac{C_5(t)}{\sqrt{r}} \end{aligned} \quad (4.5)$$

Значение функций  $C_1(t), \dots, C_5(t), C_6(t)$  вместе с положениями разделяющих деформируемую область линий приходится пересчитывать на каждом временном шаге. Для этого решим систему алгебраических уравнений, составленную из граничных условий (2.1) условий пластического течения и непрерывности перемещения  $u_r$  и напряжения  $\sigma_r$  (аналог (4.3)) на разделяющих линиях.

Расчетом установлено, что линия  $r = n_3(t)$  продвигается быстрее окружности  $r = n_1(t)$ ; наступает момент времени  $t = t_3 > t_2$ , когда  $n_3(t_3) = n_1(t_3)$  (рис. 3, d) и пластическая область исчезает.

Распределение напряжений в момент отвода источника тепла, то есть в момент времени, когда распределение температуры задается верхней зависимостью на рис. 1, указано на рис. 4 при  $\lambda = 192.3k_0$ ,  $\mu = 128.2k_0$ ,  $k_0 = 210$  МПа,  $\alpha = 23.4 \times 10^{-6}$  (°C) $^{-1}$ ,  $\gamma = 880$  см $^{-2}$  (рис. 4a);  $\gamma = 220$  см $^{-2}$  (рис. 4, b).

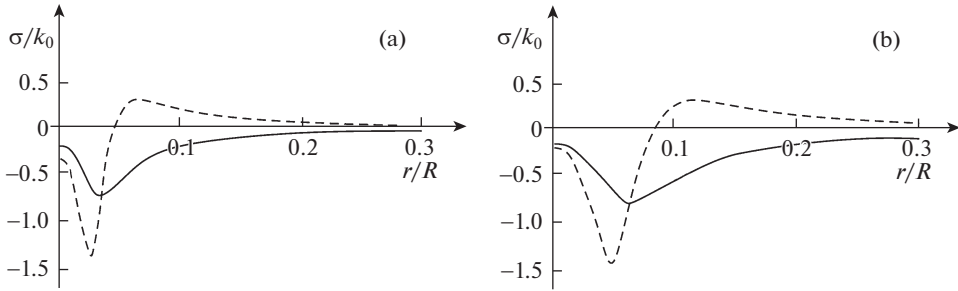


Рис. 4.

**5. Остывание и разгрузка.** Сразу за моментом  $t = t_4$  отвода источника нагрева в центре пластины зарождается область обратимого деформирования  $0 \leq r \leq m_1(t)$  с продвигающейся разгружающей упругопластической границей  $r = m_1(t)$  (рис. 3, е). Продвижение этой линии приводит к исчезновению сначала пластической, области  $m_1(t) \leq r \leq n_2(t)$  (рис. 3, ф), а потом после  $t = t_6$  и области  $n_2(t) \leq r \leq n_3(t)$  (рис. 3, г). С момента времени  $t = t_3$  пластина деформируется обратимо. Следует учитывать, что данное термоупругое деформирование происходит, в отличие от (3.3) и (3.4), в условиях присутствующих, со временем не изменяющихся пластических деформаций  $p_r(r)$  и  $p_\varphi(r)$ .

В условиях достаточно высокой степени нагрева при остывании пластины необходимо возникает повторное (обратное) пластическое течение. Начинается оно в момент времени  $t = t_7$ , когда в центре пластины выполняется условие пластического течения  $\sigma_r + \sigma_\varphi = 4k$ , соответствующее противоположной грани призмы Ивлева в сравнении с активным процессом деформирования (рис. 2). В области повторного пластического течения  $0 \leq r \leq n_4(t)$  (рис. 3h) после интегрирования уравнения равновесия в перемещениях получим

$$u_r = -2(\mu r)^{-1} \int_0^r \rho k(\rho) d\rho + r \int_0^r \rho^{-1} (p_r(\rho) - p_\varphi(\rho)) d\rho + 0.5rC_3(t) + r^{-1}C_4(t)$$

$$\sigma_r = 4r^{-2} \int_0^r \rho k(\rho) d\rho - 2r^{-2} \mu C_4(t)$$

$$e_r^p = -4((3\mu)^{-1} + (6K)^{-1})k - \alpha T_0 \theta - \int_0^r \rho^{-1} (P_r(\rho) - P_\varphi(\rho)) d\rho - P_\varphi + 0.5C_3(t)$$

В момент времени  $t = t_8$  в центре пластины возникает разгружающая упругопластическая граница  $r = m_2(t)$ , а упругопластическая граница  $r = n_4(t)$  начинает двигаться в обратную сторону. Продвигаясь по пластине (рис. 3, и), он и при  $t = t_9 > t_8$  встречаются. Далее пластина, вплоть до полного ее остывания деформируется обратимо, формируя окончательное поле остаточных напряжений (рис. 5, а)  $\gamma = 880 \text{ см}^{-2}$ , б)  $\gamma = 220 \text{ см}^{-2}$ .

Таким образом, кусочно-линейное условие пластичности Ишлинского–Ивлева обеспечивает расчет одномерного поля температурных напряжений в круглой пластине в его эволюции от начала нагрева до полного последующего остывания без обращения к приближенным численным методам расчетов. Расчеты проводятся последовательными шагами по времени с использованием конечных зависимостей деформаций

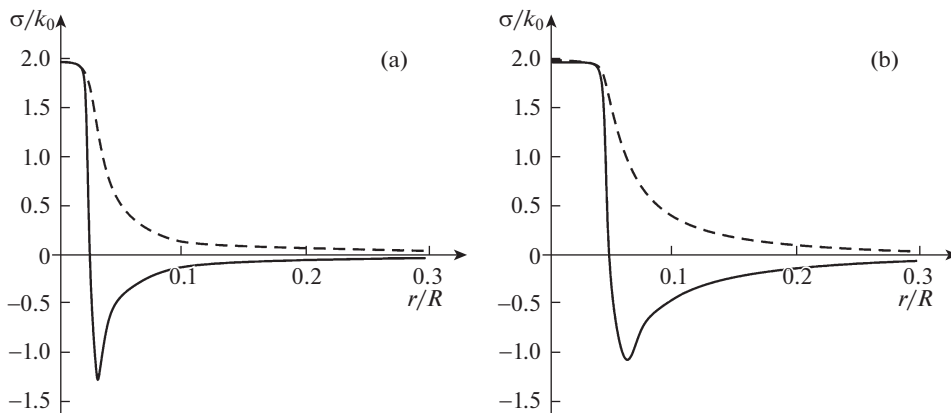


Рис. 5.

и напряжений от распределения в рассчитываемый момент времени температуры по пластине без дискретизации расчетных областей. Впервые обнаружены особенности в расчетах, связанные с выполнением условий пластического течения, соответствующих ребру призмы Ивлева. Указан способ дальнейших расчетов посредством мгновенного перехода с грани призмы на соседнюю грань, минуя грань поверхности пластического течения. Установленные особенности окажутся полезными при использовании данного условия пластического течения в задачах более сложной геометрии и более сложного термомеханического воздействия.

Работа выполнена при поддержке государственного задания ХФИЦ ДВО РАН.

#### СПИСОК ЛИТЕРАТУРА

1. *Ивлев Д.Д.* Теория идеальной пластичности. М.: Наука, 1966. 252 с.
2. *Ивлев Д.Д., Быковцев Г.И.* Теория упрочняющегося пластического тела. М.: Наука, 1971. 232 с.
3. *Клюшников В.Д.* Математическая теория пластичности. М.: Изд-во МГУ, 1979. 208 с.
4. *Ивлев Д.Д., Ершов Л.В.* Метод возмущений в теории упруго-пластического тела. — М.: Наука, 1978. 208 с.
5. *Соколовский В.В.* Теория пластичности. М.: Высш. школа, 1969. 608 с.
6. *Быковцев Г.И., Ивлев Д.Д.* Теория пластичности. Владивосток: Дальнаука, 1998. 528 с.
7. *Ерхов М.И.* Теория идеальной пластичности тел и конструкций. М.: Наука, 1978. 352 с.
8. *Аннин Б.Д., Черепанов Г.Б.* Упругопластическая задача. Новосибирск: Наука, 1983. 240 с.
9. *Галин Л.А.* Упругопластические задачи. М.: Наука, 1984. 232 с.
10. *Schmidt R.* Uber den Zusammenhang von Spannungen und Iormanderungen im Verfestigsgebiet // *Ingender Arihiv*. 1932. V. 3. № 3. P. 215–235.
11. *Ишлинский А.Ю.* Гипотеза прочности формоизменения // *Ученые записки МГУ*. 1940. № 46. С. 104–114.
12. *Ivlev D.D.* On the development of a theory of ideal plasticity // *Journal of Applied Mathematics and Mechanics*. 1958. V. 22. № 6. P. 1221–1230.
13. *Хилл Р.* Математическая теория пластичности. М.: Мир. 1956. 407 с.
14. *Zhao D. W., Xie Y.-J. Liu X.-H., Wang G.-D.* Three-Dimensional Analysis of Rolling by Twin Shear Stress Yield Criterion // *J. of Iron and Steel Research Int.* 2006. V. 13. № 6. P. 21–26.
15. *Cai Q., Pang M., Zhang Y.-Q., Liw X.* Elastic-plastic stress distribution of rotating annuar disc based on twin-shear stress yorld criterion criterion // *Zhejiang Daxue Xuebao (Gongxue Ban) / J of Zhejiang University (Eng. Science)*. 2008. V. 42. № 9. P. 1540–1544.

16. *Zhu X., Pang M., Zhang Y.* Estimation of burst pressure of pipeline using twin-shear yield criterion // Chinese J. of Appl. Mech. 2011. V. 28. № 2. P. 135–138.
17. *Дац Е.П., Мурашкин Е.В., Ткачева А.В., Щербатюк Г.А.* Температурные напряжения в упругопластической трубе в зависимости от выбора условия пластичности // Изв. РАН. МТТ. 2018. № 1. С. 32–43.
18. *Буренин А.А., Каинг М., Ткачева А.В.* К расчету плоских напряженных состояний в теории неустановившихся температурных напряжений в упругопластических телах // ДВМЖ. Т. 18. № 1. С. 1–8.
19. *Буренин А.А., Матвеев В.П., Ткачева А.В.* Температурные напряжения в процессе сборки двухслойного вала способом горячей посадки // Ученые записки КНАГТУ. 2018. № 3 (35). С. 31–41.
20. *Шевченко Ю.Н.* Термопластичность при переменных нагружениях. Киев: Наукова думка. 1970. 288 с.
21. *Лэжина П., Савчук А.* Проблемы термопластичности // Проблемы теории пластичности и ползучести. М.: Мир. 1979. С. 94–202.
22. *Шевченко Ю.Н., Стебляк П.А., Петров А.Д.* Численные методы в нестационарных задачах теории термопластичности // Пробл. выч. мех. и прочн. конструкций. 2014. № 22. С. 250–264.
23. *Gamer U.* A concise treatment of the shrink fit with elastic plastic hub // Int. J. Solids/ Struct. 1992. V. 29. P. 2463–2469.
24. *Mack W.* Thermal assembly of an elastic-plastic hub and a solid shaft // Arch. Appl. Mech. 1993. V. 63. P. 42–50.
25. *Kovacs A.* Residual Stresses in Thermally Loaded Shrink Fits // Periodica Polytechnica: Mech. Eng. 1996. V. 40. № 2. P. 103–112.
26. *Александров С.Е., Ломакин Е.В., Дзенг Й.-Р.* Решение термоупругопластической задачи для тонкого диска из пластически сжимаемого материала, подверженного термическому нагружению // ДАН. 2012. Т. 443. № 3. С. 310–312.
27. *Antonio N.* Contact separation and failure analysis thermo-elastoplastic shrink-fit assembly // Appl. Math. 2013. V. 37. P. 2352–2364.
28. *Буренин А.А., Ткачева А.В., Щербатюк Г.А.* К расчету неустановившихся температурных напряжений в упругопластических телах // Вычисл. мех. спл. сред. 2017. Т. 10. № 3. С. 245–259.